

Starkniederschlagshöhen und -spenden gemäß KOSTRA-DWD-2020

Rasterfeld 101172

(Zeile 101, Spalte 172)

Regenspende und Bemessungsniederschlagswerte in Abhängigkeit von Wiederkehrzeit T und Dauerstufe D

| Dauerstufe D | | Wiederkehrzeit T | | | | | | | | | | | | | | | | | |
|--------------|-----|------------------|------------|------|------------|------|------------|------|------------|------|------------|------|------------|-------|------------|-------|------------|-------|------------|
| | | 1 a | | 2 a | | 3 a | | 5 a | | 10 a | | 20 a | | 30 a | | 50 a | | 100 a | |
| min | Std | mm | l / (s ha) | mm | l / (s ha) | mm | l / (s ha) | mm | l / (s ha) | mm | l / (s ha) | mm | l / (s ha) | mm | l / (s ha) | mm | l / (s ha) | mm | l / (s ha) |
| 5 | | 6,2 | 206,7 | 7,8 | 260,0 | 8,8 | 293,3 | 10,1 | 336,7 | 12,0 | 400,0 | 13,9 | 463,3 | 15,2 | 506,7 | 16,8 | 560,0 | 19,2 | 640,0 |
| 10 | | 8,3 | 138,3 | 10,4 | 173,3 | 11,8 | 196,7 | 13,5 | 225,0 | 16,0 | 266,7 | 18,6 | 310,0 | 20,4 | 340,0 | 22,6 | 376,7 | 25,8 | 430,0 |
| 15 | | 9,5 | 105,6 | 12,0 | 133,3 | 13,5 | 150,0 | 15,6 | 173,3 | 18,5 | 205,6 | 21,5 | 238,9 | 23,5 | 261,1 | 26,0 | 288,9 | 29,7 | 330,0 |
| 20 | | 10,4 | 86,7 | 13,1 | 109,2 | 14,8 | 123,3 | 17,0 | 141,7 | 20,2 | 168,3 | 23,5 | 195,8 | 25,7 | 214,2 | 28,5 | 237,5 | 32,5 | 270,8 |
| 30 | | 11,7 | 65,0 | 14,8 | 82,2 | 16,7 | 92,8 | 19,2 | 106,7 | 22,7 | 126,1 | 26,4 | 146,7 | 28,9 | 160,6 | 32,0 | 177,8 | 36,6 | 203,3 |
| 45 | | 13,0 | 48,1 | 16,4 | 60,7 | 18,6 | 68,9 | 21,3 | 78,9 | 25,3 | 93,7 | 29,4 | 108,9 | 32,1 | 118,9 | 35,6 | 131,9 | 40,7 | 150,7 |
| 60 | 1 | 14,0 | 38,9 | 17,7 | 49,2 | 19,9 | 55,3 | 22,9 | 63,6 | 27,2 | 75,6 | 31,6 | 87,8 | 34,5 | 95,8 | 38,3 | 106,4 | 43,7 | 121,4 |
| 90 | 1,5 | 15,4 | 28,5 | 19,5 | 36,1 | 22,0 | 40,7 | 25,2 | 46,7 | 30,0 | 55,6 | 34,8 | 64,4 | 38,0 | 70,4 | 42,2 | 78,1 | 48,2 | 89,3 |
| 120 | 2 | 16,5 | 22,9 | 20,8 | 28,9 | 23,5 | 32,6 | 27,0 | 37,5 | 32,0 | 44,4 | 37,2 | 51,7 | 40,7 | 56,5 | 45,1 | 62,6 | 51,5 | 71,5 |
| 180 | 3 | 18,1 | 16,8 | 22,8 | 21,1 | 25,7 | 23,8 | 29,6 | 27,4 | 35,1 | 32,5 | 40,8 | 37,8 | 44,6 | 41,3 | 49,5 | 45,8 | 56,5 | 52,3 |
| 240 | 4 | 19,3 | 13,4 | 24,3 | 16,9 | 27,4 | 19,0 | 31,5 | 21,9 | 37,4 | 26,0 | 43,5 | 30,2 | 47,5 | 33,0 | 52,7 | 36,6 | 60,2 | 41,8 |
| 360 | 6 | 21,1 | 9,8 | 26,6 | 12,3 | 30,0 | 13,9 | 34,5 | 16,0 | 40,9 | 18,9 | 47,6 | 22,0 | 51,9 | 24,0 | 57,6 | 26,7 | 65,8 | 30,5 |
| 540 | 9 | 23,0 | 7,1 | 29,0 | 9,0 | 32,7 | 10,1 | 37,6 | 11,6 | 44,7 | 13,8 | 51,9 | 16,0 | 56,7 | 17,5 | 62,9 | 19,4 | 71,9 | 22,2 |
| 720 | 12 | 24,5 | 5,7 | 30,9 | 7,2 | 34,8 | 8,1 | 40,0 | 9,3 | 47,5 | 11,0 | 55,3 | 12,8 | 60,3 | 14,0 | 67,0 | 15,5 | 76,5 | 17,7 |
| 1080 | 18 | 26,7 | 4,1 | 33,7 | 5,2 | 38,0 | 5,9 | 43,7 | 6,7 | 51,9 | 8,0 | 60,3 | 9,3 | 65,8 | 10,2 | 73,1 | 11,3 | 83,4 | 12,9 |
| 1440 | 24 | 28,4 | 3,3 | 35,8 | 4,1 | 40,4 | 4,7 | 46,5 | 5,4 | 55,2 | 6,4 | 64,1 | 7,4 | 70,0 | 8,1 | 77,7 | 9,0 | 88,7 | 10,3 |
| 2880 | 48 | 33,0 | 1,9 | 41,6 | 2,4 | 46,9 | 2,7 | 53,9 | 3,1 | 64,0 | 3,7 | 74,4 | 4,3 | 81,2 | 4,7 | 90,1 | 5,2 | 102,9 | 6,0 |
| 4320 | 72 | 35,9 | 1,4 | 45,3 | 1,7 | 51,1 | 2,0 | 58,8 | 2,3 | 69,7 | 2,7 | 81,1 | 3,1 | 88,5 | 3,4 | 98,2 | 3,8 | 112,2 | 4,3 |
| 5760 | 96 | 38,2 | 1,1 | 48,2 | 1,4 | 54,3 | 1,6 | 62,5 | 1,8 | 74,2 | 2,1 | 86,2 | 2,5 | 94,1 | 2,7 | 104,4 | 3,0 | 119,3 | 3,5 |
| 7200 | 120 | 40,1 | 0,9 | 50,5 | 1,2 | 57,0 | 1,3 | 65,5 | 1,5 | 77,8 | 1,8 | 90,4 | 2,1 | 98,7 | 2,3 | 109,5 | 2,5 | 125,1 | 2,9 |
| 8640 | 144 | 41,6 | 0,8 | 52,5 | 1,0 | 59,2 | 1,1 | 68,1 | 1,3 | 80,8 | 1,6 | 94,0 | 1,8 | 102,6 | 2,0 | 113,9 | 2,2 | 130,0 | 2,5 |
| 10080 | 168 | 43,0 | 0,7 | 54,3 | 0,9 | 61,2 | 1,0 | 70,4 | 1,2 | 83,5 | 1,4 | 97,1 | 1,6 | 106,0 | 1,8 | 117,7 | 1,9 | 134,3 | 2,2 |

Starkniederschlagshöhen und -spenden gemäß KOSTRA-DWD-2020

Rasterfeld 101172

(Zeile 101, Spalte 172)

Örtliche Unsicherheiten in Abhängigkeit von Wiederkehrzeit T und Dauerstufe D

| Dauerstufe D | | Wiederkehrzeit T | | | | | | | | |
|--------------|-----|------------------|-----|-----|-----|------|------|------|------|-------|
| | | 1 a | 2 a | 3 a | 5 a | 10 a | 20 a | 30 a | 50 a | 100 a |
| min | Std | ± % | ± % | ± % | ± % | ± % | ± % | ± % | ± % | ± % |
| 5 | | 16 | 14 | 14 | 13 | 13 | 14 | 14 | 14 | 14 |
| 10 | | 11 | 12 | 13 | 13 | 14 | 15 | 16 | 16 | 17 |
| 15 | | 12 | 14 | 15 | 16 | 17 | 18 | 18 | 19 | 20 |
| 20 | | 13 | 15 | 16 | 17 | 19 | 20 | 20 | 21 | 21 |
| 30 | | 15 | 17 | 18 | 19 | 21 | 22 | 22 | 23 | 24 |
| 45 | | 16 | 18 | 19 | 21 | 22 | 23 | 23 | 24 | 25 |
| 60 | 1 | 16 | 18 | 20 | 21 | 22 | 23 | 24 | 25 | 25 |
| 90 | 1,5 | 16 | 18 | 20 | 21 | 22 | 24 | 24 | 25 | 25 |
| 120 | 2 | 16 | 18 | 19 | 21 | 22 | 23 | 24 | 24 | 25 |
| 180 | 3 | 15 | 18 | 19 | 20 | 22 | 23 | 23 | 24 | 25 |
| 240 | 4 | 15 | 17 | 18 | 20 | 21 | 22 | 23 | 23 | 24 |
| 360 | 6 | 14 | 17 | 18 | 19 | 20 | 21 | 22 | 22 | 23 |
| 540 | 9 | 14 | 16 | 17 | 18 | 19 | 20 | 21 | 22 | 22 |
| 720 | 12 | 14 | 16 | 17 | 18 | 19 | 20 | 20 | 21 | 22 |
| 1080 | 18 | 14 | 15 | 16 | 17 | 18 | 19 | 20 | 20 | 21 |
| 1440 | 24 | 14 | 15 | 16 | 17 | 18 | 19 | 19 | 20 | 20 |
| 2880 | 48 | 15 | 16 | 16 | 17 | 17 | 18 | 18 | 19 | 19 |
| 4320 | 72 | 16 | 16 | 17 | 17 | 18 | 18 | 18 | 19 | 19 |
| 5760 | 96 | 17 | 17 | 17 | 18 | 18 | 18 | 19 | 19 | 19 |
| 7200 | 120 | 18 | 18 | 18 | 18 | 18 | 19 | 19 | 19 | 20 |
| 8640 | 144 | 19 | 18 | 18 | 18 | 19 | 19 | 19 | 19 | 20 |
| 10080 | 168 | 20 | 19 | 19 | 19 | 19 | 19 | 20 | 20 | 20 |

Parameter für abweichende T und D

Lokationsparameter ξ (Xi)

14,49281005

Skalenparameter α (Alpha)

5,2595626

Formparameter κ (Kappa)

-0,1

1. Koutsoyiannis-Parameter θ (Theta)

0,04291126

2. Koutsoyiannis-Parameter η (Eta)

0,78742707

Parameter für dauerstufenübergreifende Extremwertschätzung nach KOUTSOYIANNIS et al. 1998.

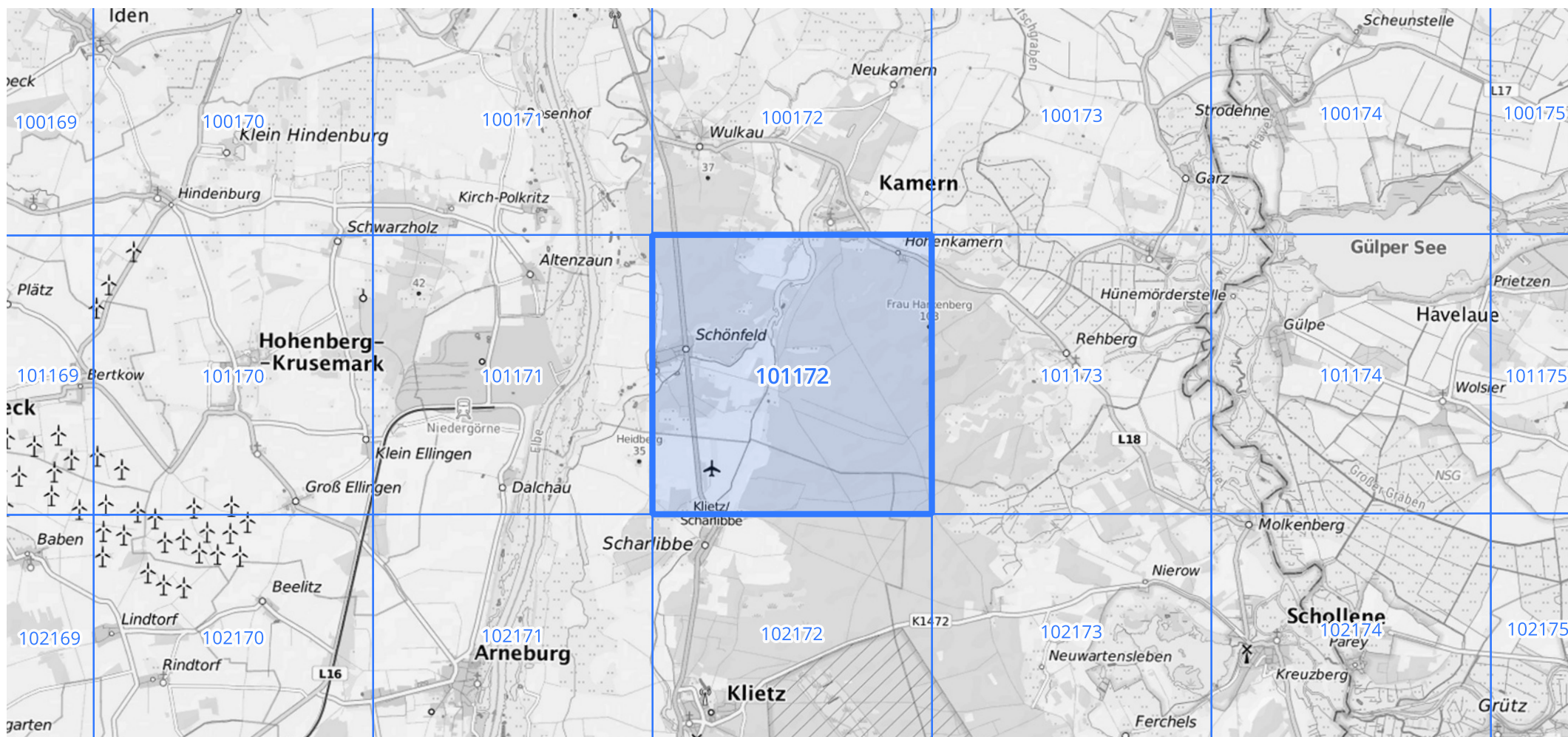
Siehe auch Anwendungshilfe zu KOSTRA-DWD-2020 des Deutschen Wetterdienstes.

Starkniederschlagshöhen und -spenden gemäß KOSTRA-DWD-2020

Rasterfeld 101172

(Zeile 101, Spalte 172)

Übersichtskarte des Rasterfeldes 101172, M 1 : 100 000



Quelle Rasterdaten: KOSTRA-DWD-2020 des Deutschen Wetterdienstes, Stand 12/2022.

Seite 3 von 3

Kartendarstellung: © Bundesamt für Kartographie und Geodäsie (2023), Datenquellen: https://sgx.geodatenzentrum.de/web_public/gdz/datenquellen/Datenquellen_TopPlusOpen.html

Für die Richtigkeit und Aktualität der Angaben wird keine Gewähr übernommen. Erstellt 01/2023.